

تقنيه التخثير الكهربائي

آية ثامر ابراهيم

أ.م.مصعب عبدالجبار عبدالباقي

جامعة الموصل / كلية الهندسة / قسم الهندسة المدنية

تم في هذه الدراسة إزالة العکورة من الماء باستخدام تقنية التخثير الكهربائي. إذ تم تشغيل نظام تخثير كهربائي ذو جريان مستمر يتكون من حوض التخثير الكهربائي بحجم ثابت (2 لتر) وحوض التلبيه وحوض الترسيب بأحجام مختلفة، تبعاً للتغير التصريفي الناتج من تغير زمن التخثير الكهربائي. إذ استخدمت (3) (4) (4) لقطب السالب من مادة الألمنيوم لكلا القطبين، وكانت أبعاد الصفيحة (17x8) سم وتم تثبيت المسافة بين (1) (1) 25 درجة منوية.

كما تم دراسة تأثير بعض العوامل التشغيلية على كفاءة الإزالة ومن هذه العوامل التيار الكهربائي المار، إذ تم قيم للتيار تتراوح بين (0.1) أمبير فضلاً عن أربعة أزمنة للتخثير الكهربائي (1 5 10 20) دقيقة وأربعة مستويات للعکورة الابتدائية المصنعة من إضافة طين الكاولين إلى ماء الاصالة مقدارها (10 25 100 300).

تجارب العملية أن العکورة المتبقية تقل مع زيادة كمية التيار الكهربائي المار ولجميع مستويات العکورة الابتدائية. كما بينت النتائج أيضاً أن العکورة المتبقية تقل مع زيادة زمن التخثير الكهربائي ولجميع مستويات العکورة الابتدائية. ويظهر ذلك واضحاً عند التيارات الـ (0.1 0.25 0.5) أمبير، أما عند زيادة التيار (1.0 1.5 2) أمبير فإن مدى التغير بالعکورة المتبقية قليل جداً وخاصة عند زمن التخثير الكهربائي بين (10 20) دقيقة، كما لوحظ أيضاً زيادة العکورة المتبقية مع زيادة التركيز الابتدائي للعکورة.

ABSTRACT

This study search's the removal of turbidity from water by electrocoagulation technique. Bench scale with continuous flow system was designed the system consists of electrocoagulation reactor with volume (2 L), flocculation basin and sedimentation basin with volumes change due to the change in detention time of electrocoagulation. Aluminum plates (17×8) cm were used (3 plates) as the anode and (4 plates) as the cathode, the spacing between plates was taken (1 cm) and the temperature of water was kept at (25°C).

The study investigates the effects of some operating parameters such as, electrical current that ranging from (0.1 – 2) A, detention time of electrocoagulation (1 , 5 , 10 , 20) minutes and initial turbidity variety of the raw water (10 , 25 , 100 , 300) ntu upon the residual turbidity.

Experiment result shows that the residual turbidity decrease with increase value of the electrical current for all values of initial turbidity. Also, the residual turbidity decrease with increase time of electrocoagulation for all values of initial turbidity specially in (0.1 , 0.25 , 0.5) A, when the electrical current increase to (1 , 1.5 , 2) A , the change in residual turbidity was small specially in time between (10 – 20) minutes. The results also proved that increasing the initial turbidity lead to increase the residual turbidity.

7 - 10 - 2015 :

15 - 4 - 2015 :

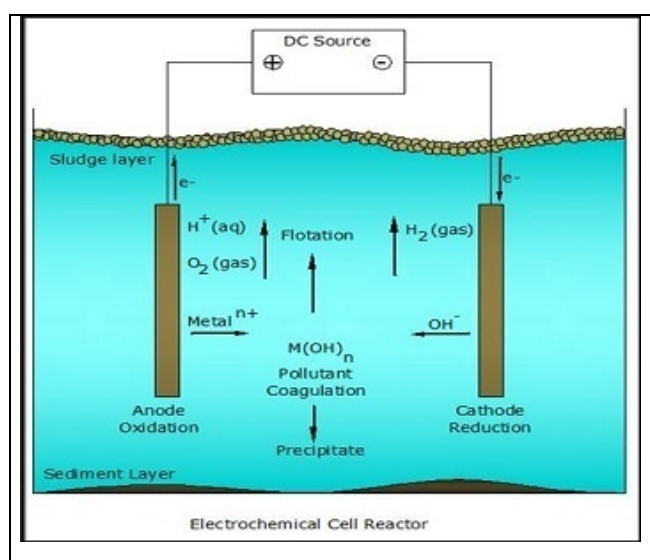
جسيمات عالقة فيه مثل دقائق التربة والرمل والطين والمواد العضوية واللاعضوية، كما يمكن أن تكون بسبب وجود كائنات حية دقيقة ونباتات طافية، وتعتبر إزالة عكورة الماء من الأهداف الرئيسية لمعظم محطات الإسالة، فهي فضلاً عن كونها تحسن من مظهر الماء فإنها تساعد أيضاً على التخلص من شوائب أخرى مثل المعادن الثقيلة والأحياء المجهرية على اختلاف أنواعها التي تستقر عادة على سطوح هذه الجسيمات.

تستخدم الكثير من المواد المختارة في الرومان فضلاً عن املاح الحديد مثل كبريتات الحديدوز (FeSO_4) وكلوريد الحديديك (FeCl_3) والغاية من إضافة هذه المواد إلى الماء هو تحرير أيونات الألمنيوم وال الحديد المسؤولة عن حدوث عملية التخثير.

يتطرق البحث إلى دراسة عملية التخثير باسلوب جديد فدلاً من إضافة المختارات بشكل مادة كيميائية (املاح المعادن المختارة) مباشرةً إلى الماء لتحرير أيون المعادن والتي قد تسبب إضافة ملوثات أخرى ناتجة عن الشيء مع المعدن، يتم اللجوء إلى إضافة أيون المعدن المطلوب عن طريق الأكسدة الكهربائية أو التحلل الكهربائي بإستخدام أقطاب كهربائية من الألمنيوم أو الحديد وهذه العملية تسمى بالتخثير الكهربائي ولها محسن كثيرة عن التخثير التقليدي [1].

يعتبر التخثير الكهربائي أحد التطبيقات الرئيسية في تقنيات المفاعلات الكهروكيميائية [2] وهي عملية معقدة تتضمن عمليات فيزيائية وكيميائية بإستخدام أقطاب كهربائية من الحديد أو الألمنيوم تقوم بتوفير الأيونات اللازمة لعملية التخثير. وخلال نهاية القرن التاسع عشر طبقت عملية التخثير الكهربائي في عدد كبير من محطات تصفيه الماء في لندن، بينما قامت بعض محطات الـ في أجزاء مختلفة من الولايات المتحدة وفي وقت مبكر سنة 1911 بمعالجة الحمأة الناتجة عن العملية [2]، وخلال العشر سنوات الأخيرة بدأ استخدام هذه التقنية على نحو متزايد في أمريكا الشمالية والجنوبية وأوروبا لمعالجة المطروحت الصناعية الحاوية على معادن [3].

نظريّة التخثير الكهربائي:



(1): يوضح التفاعلات التي تحصل بعملية التخثير الكهربائي [2].

تتضمن عملية التخثير الكهربائي امرار تيار كهربائي مستمر بين أقطاب معدنية مغمورة في الماء الملوث، التيار الكهربائي المار يسبب ذوبان أو انحلال للأقطاب المعدنية في الماء وتحرير أيونات المعدن التي يمكن أن تشكل مدى واسع من المركبات وهيدروكسيد المعدن التي تنتقل بالجسيمات الغروية الموجودة في الماء إلى حالة الاستقرار للبادات الدقيقة التي يتم زيادة حجمها فيما بعد في حوض التلبيذ، وعادة يكون الترسيب هو الخيار الشائع في عملية التخثير الكهربائي لازالة البادات، أما التعويم فيتم بوجود غاز الهيدروجين الناتج عند القطب السالب وغاز الأوكسجين عند القطب الموجب أو عن طريق حقن الهواء [4].

يمكن أن يكون مفاعلات التخثير الكهربائي حاوي على أزواج متعددة من الأقطاب الكهربائية الموجبة والسلبية والتي تكون بشكل صفائح أو صفائح متقدمة أو أنابيب ومن تشمل الحديد والألمنيوم والحديد المقاوم للصدأ والتيتانيوم، كما يمكن أن تكون سلسلة من المفاعلات وكل منها بأقطاب كهربائية من مواد مختلفة [5].

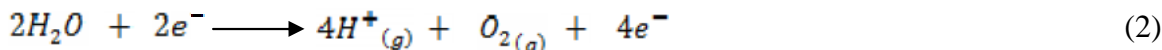
ميكانيكية التخثير الكهربائي:

تعتمد التقنية على تكوين المختارات من حلول القطب الموجب عند مرور التيار الكهربائي إذ يتحرر أيون المعدن ويكون الهيدروكسيد ونواتج التحلل الأخرى لأيون المعدن. بصورة عامة وعلى اعتبار أن القطب الموجب يتكون من المادة (M) :

In anode:



: زالة عكورة الماء باستخدام تقنية التخثير الكهربائي



In cathode:

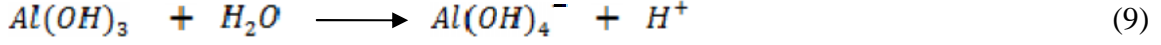
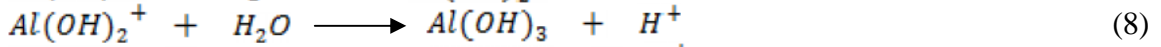
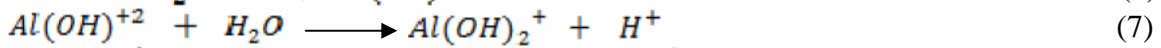
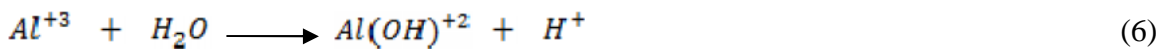


فعد استخدام أقطاب كهربائية من الألمنيوم وخلال مرور التيار الكهربائي تحدث تفاعلات رئيسية تحرر خلالها أيونات الألمنيوم (Al^{+3}) وأيونات الهيدروكسيد (OH^-) (5) :

In anode:



فضلاً عن حدوث تفاعلات ثانوية عند القطب الموجب أهمها انبعاث غاز الاوكسجين (معادلة 2). أيضاً تحدث سلسلة من التفاعلات يتكون خلالها هيدروكسيد الألمنيوم وكالاتي: [7]



وفضلاً عن ذلك ونتيجة التحلل المائي ومن خلال (معادلة 6 - 9) يكون القطب الموجب أقرب إلى الحامضي، عكس القطب السالب والذي يكون أقرب إلى القاعدي نتيجة لانبعاث غاز الهيدروجين (معادلة 4).

أهداف البحث:

- (1) دراسة تأثير مستوى العكورة الإبتدائية للماء الخام على العكورة المتبقية.
- (2) دراسة تأثير تغير زمن تسلیط التيار الكهربائي على العكورة المتبقية.
- (3) دراسة تأثير تغير شدة التيار الكهربائي على العكورة المتبقية.

:

الباحثون (EL-MASRY et al., 2004) [8] بحث تأثير عملية التخثير الكهربائي على تنقية المياه السطحية تخدام لوحين من الألمنيوم المسافة بينهما 2 (10.2, 6.2, 0.1) (1 دقيقة) (Batch reactor). وفي حوض التخثير الكهربائي عند إمرار التيار تتم عملية المزج بسرعة (100) (40) (15 دقيقة)، وبعد قطع التيار تبدأ عملية الترسيب والتي تستغرق (45 دقيقة). وكانت أفضل قيمة لكثافة التيار (0.6325) ملي أمبيراً ² (%90)، كما قل تركيز كل من النترات والفسفات والكبريتات الموجودة في الماء بنسبة (20.0 % 77.5 % 83.3 %).

الباحثون (Ni'am et al., 2007) [9] أيضاً مصنوع من الحليب لدراسة تأثير عملية التخثير الكهربائي على إزالة كل من المتطلب الكيميائي للأوكسجين COD من هذا النموذج أقطاب كهربائية من الحديد بمساحة مقدارها (142.40) ². إذ كانت القيمة الأولى للمتطلب الكيميائي للأوكسجين (1140) (491) وحدة عكورة. وكانت كثافة التيار تتراوح بين (3.51) ملي أمبيراً ² وزمن التماس بين (30 50) دقيقة (2 لتر). كانت أعلى كفاءة إزالة تم الحصول عليها للمتطلب الكيميائي للأوكسجين تتجاوز (%65) عند كثافة تيار (5.62) ملي أمبيراً ² ومسافة بين الألواح مقدارها (50) (50).

الباحثون (Kilic et al., 2009) [10] مقارنة بين عملية التخثير الكهربائي باستخدام أقطاب كهربائية موجبة من الألمنيوم وأقطاب كهربائية سالبة من الحديد المقاوم للصدأ مع عملية التخثير التقليدي باستخدام كبريتات الألمنيوم على عكورة مصنعة من دقائق الكوارتز إذ استخدم مفاعل ذا مرحلة واحدة ودرس عدة متغيرات مؤثرة على كفاءة التخثير منها قيمة pH للمحلول وكثافة التيار الكهربائي وزمنه وتركيز الألمنيوم وغيرها. فعند استخدام التخثير الكهربائي وجد أن كفاءة (%92) عند كثافة تيار (87 أمبيراً ²). أما عند استخدام التخثير التقليدي فإن كفاءة الإزالة (15) (15 | Al لتر). كما وجد أيضاً أن كفاءة إزالة كل من التخثير الكهربائي والتخثير التقليدي تكون متشابهة عند ذات الكمية من الألمنيوم وذات العوامل التشغيلية.

ولمعرفة تأثير بعض المتغيرات مثل قيمة pH وكثافة التيار والتوصيلية الكهربائية للمحلول والتركيز الابتدائي للشائبة والمسافة بين الأقطاب الكهربائية ومدة التماس على عملية التخثير الكهربائي [11] عکورة مصنعة من مادة السيليكا باستخدام مفاعل من نوع (batch rector) وأقطاب كهربائية من الألمنيوم يمكن الحصول عليها عند كثافة تيار (%) 89 (17 27). (11.55 مبيرا²) وقيمة pH ابتدائية (7.6) وتوصيلية كهربائية للمحلول مقدارها (2.1) اسماً ومسافة بين الأقطاب مقدارها (1 سم) ومدة تماس كهربائي مقداره (10 دقيقة). عند تطبيق هذه الظروف التشغيلية على المطروحتات الناتجة من صناعة النسيج وجد أن أعلى كفاءة إزالة تم الحصول عليها كانت كالتالي:

% 93% = COD % 88.9 = BOD₅ % 76.2 = % 79.7 =

[10] بدراسة عملية إزالة جزيئات طين الكاولين من محلول محضر صناعياً من إضافة طين الكاولين إلى الماء المقطر بواسطة عملية التخثير الكهربائي والتخثير الكيميائي التقليدي لمعرفة تأثير العوامل التشغيلية مثل (قيمة pH الأولية وتركيز المختبر والفولتنة المجهزة وكثافة التيار والזמן) على العملية إذ استخدم مفاعل ذا مرحلة واحدة. أشارت النتائج أن التخثير الكيميائي التقليدي يكون أكثر فعالية ضمن مدى أوسع من pH بين (5 8) إذ كانت كفاءة الإزالة للكورقة تتراوح بين (88 93) %، بينما عملية التخثير الكهربائي تكون فعالة عند قيمة pH (9) أي تكون ضمن مدى ضيق وكانت كفاءة إزالة الكورقة (87) %. كما لاحظ أيضاً أن كلتا عملية التخثير الكهربائي والتخثير الكيميائي التقليدي تعطي نفس الإزالة للكورقة عندما تكون كمية الألمنيوم داخل محلول ذاتها في كلتا الحالتين.

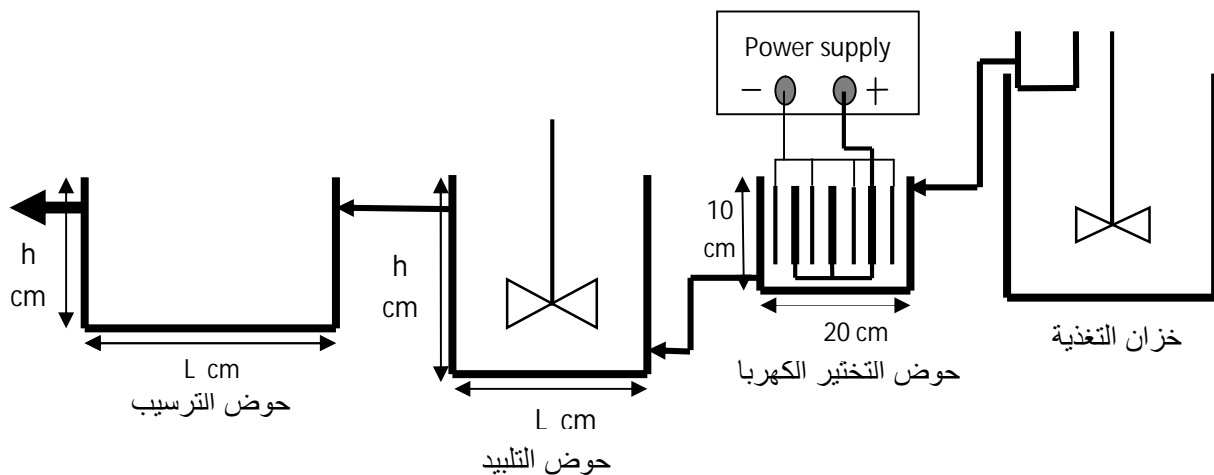
الثوابت والمتغيرات:

- لكلة العوامل التي تؤثر على عملية التخثير الكهربائي في إزالة الكورقة فقد تم تثبيت المتغيرات الآتية:
1. تثبيت درجة حرارة الماء (25 °).
 2. تم إعتماد قيمة الأس الهيدروجيني المعدلة لماء الإسالة والتي تراوحت بين (8.13 8.78).
 3. نوع النظام المستخدم هو الجريان المستمر (Continuous reactor).
 4. حوض التخثير الكهربائي ذو سعة (20x10x10 سم، يليه حوض التلبيذ والترسيب ببعد متغيرة اعتماداً على زمن التخثير الكهربائي وذلك لمحافظة على ابعاد ثابتة لحوض التخثير الكهربائي مع تغير التصريف.
 5. تم استخدام أربعة أقطاب كهربائية لقطب السالب وثلاثة أقطاب كهربائية لقطب الموجب الألمنيوم لكلا القطبين لـ لهذه الأقطاب هي (816) cm^2 وأبعاد الصفيحة الواحدة المغمورة (17x8) cm^2 وبذلك تكون نسبة المساحة السطحية للأقطاب إلى الحجم (40.8) cm^3 وهي تقع ضمن الحدود (43 6.9) cm^3 [12].
 6. تثبيت المسافة بين الأقطاب الكهربائية مقدارها (1 cm) [10].
- أما بالنسبة للمتغيرات التي تم دراسة تأثيرها خلال البحث هي:
1. أربعة أرمنة للتخثير الكهربائي (1 5 10 20) دقيقة.
 2. تغيير مستوى الكورقة الابتدائي (10 25 100 300) cm.
 3. استخدام ست قيم للتيار الكهربائي في عملية التخثير الكهربائي (0.1 0.25 0.5 1 1.5 2) أمبير.
- وتم تقييم كفاءة الإزالة من خلال قياس الكورقة المتبقية.

:
نظراً للمدى الضيق لتغير عکورة ماء نهر دجلة تم تعديل الكورقة الطبيعية لماء الإسالة إلى مستويات الكورقة المطلوبة بإضافة طين الكاولين الذي يستخدم في كثير من الدراسات لهذا الغرض حصول على أربعة مستويات [11]. كما تم استخدام ألواح الألمنيوم بنقاوة 98% تقريباً في الأقطاب الكهربائية الموجبة والسلبية في حوض التخثير الكهربائي التي توفر أيونات الألمنيوم نتيجة لمرور التيار الكهربائي وحصول عملية التأين (تحلل القطب الموجب).

:
تم تصميم أربع منظومات مؤلفة من حوض التخثير الكهربائي بحجم ثابت (2 لتر) وحوض التلبيذ وحوض الترسيب التي تكون بأبعاد مختلفة مصممة حسب زمن التخثير الكهربائي ويتم تغذية الماء إلى هذه الأحواض من خلال حوض التغذية إذ يتم فيه المحافظة على عملية المزج لمنع ترسّب جسيمات الطين والحفاظ على الكورقة الابتدائية الداخلة للمنظومة أما الشحنة فتم المحافظة عليها من خلال حوض الطفع الذي يرتبط مع خزان التغذية وكما موضح في شكل (2).

: زالة عكورة الماء باستخدام تقنية التخثير الكهربائي :



(2): يوضح مخطط المنظومة المختبرية

تم اعتماد أربعة تصارييف حسب زمن التخثير الكهربائي و تمت عملية تصميم حوض التلبييد بالاعتماد على قيمة $G = 46 \text{ cm}^{-1}$ [13]. وتصميم حوض الترسيب بالاعتماد على قيمة $SOR = 20 \text{ cm}^3/\text{day}$ طبقاً للمعايير التصميمية [14]. كما تم حساب رقم رينولد ($Re < 20000$) ورقم فرويد ($Fr > 10^5$) [15]. وبأبعاد أحواض التلبييد والترسيب لأزمنة التخثير الكهربائي المعتمدة على الترتيب.

(1): يوضح أبعاد وتفاصيل أحواض التلبييد.

(cm)	N (rpm)	P (W)	h (cm)	w (cm)	L (cm)	زمن التلبييد t (.min)	التصريف Q(cm^3/s)	زمن التخثير الكهربائي (.min)
3x18	30	0.08074	35	35	35	21.44	33.3	1
1.7x10	45	0.01506	20	20	20	20	6.667	5
1.4x8	52	0.00771	16	16	16	20.48	3.333	10
1x7	53	0.00414	13	13	13	22	1.667	20

(2): يوضح أبعاد وتفاصيل أحواض الترسيب.

رقم فرويد Fr	رقم رينولد Re	h (cm)	w (cm)	L (cm)	الترسيب (min.)	التصريف Q(cm^3/s)	زمن التخثير الكهربائي (.min.)
1.0173×10^{-3}	77.76	15	18	80	10.8	33.33	1
1.436×10^{-3}	33.85	7	8	36	5	6.667	5
1.586×10^{-3}	23.33	5	6	24	3.6	3.33	10
2.03×10^{-3}	16.92	3.5	4	18	2.52	1.667	20

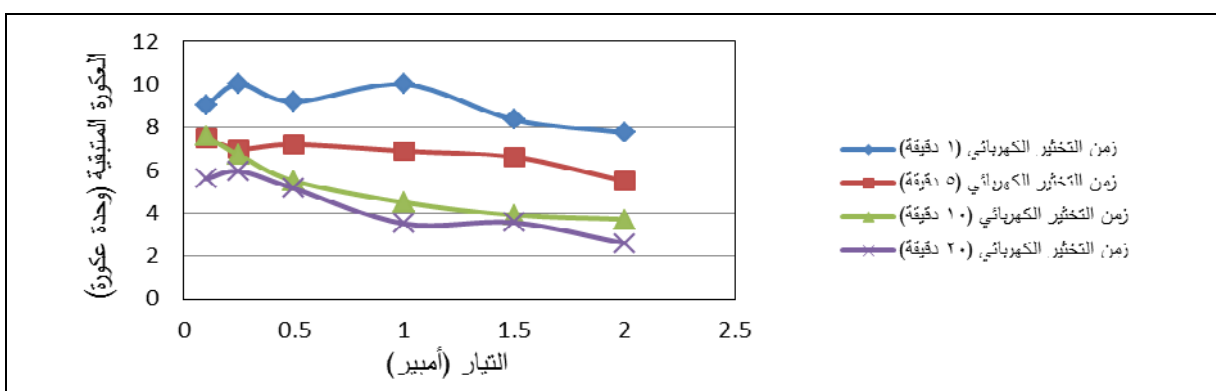
تم ضبط التصريف عند كل زمن تخيير كهربائي كما وتم ضبط عدد دورات المزج في حوض التلبيذ ودرجة (25)°م بعد ذلك يتم إتباع الخطوات الآتية عند كل تجربة:
يتم إضافة طين الكاولين إلى حوض التجفية للوصول إلى مستوى العكورة المطلوب مع المحافظة على عملية المزج داخل هذا الحوض طيلة مدة التجفية لمنع الترسب داخل الحوض.
ترتبط صفات الألمنيوم على التوالى إلى مصدر تيار مستمر وكما موضح بالشكل (3) ويتم إمداد التيار الكهربائي وحسب القيم المثبتة وتؤخذ قيم الفولتية من الجهاز عند كل تيار.
بعد انتهاء المدة الزمنية التي تشمل (زمن التخيير الكهربائي + زمن التلبيذ + زمن الترسيب) وبعد حصول حالة الاستقرار يتم قياس العكورة النهائية للماء الناتج بعد المعاملة، ثم يتم معاملة الصفائح بحامض الهيدروكلوريك HCl المخفف بنسبة حجمية (5%) (15) دقيقة لغرض إزالة الترببات الموجودة على الصفائح قبل البدء بالتجربة التالية [16].

تعاد الخطوات على قيمة أخرى للتيار الكهربائي وهكذا في بقية التجارب.
عند الإنتهاء من جميع قيم التيار المثبتة لمستوى عكورة معين يتم تغيير مستوى العكورة إلى مستوى آخر وتعاد ذاتها. تم إعادة كل عملية معالجة ثلاثة مرات وأخذ المعدل.



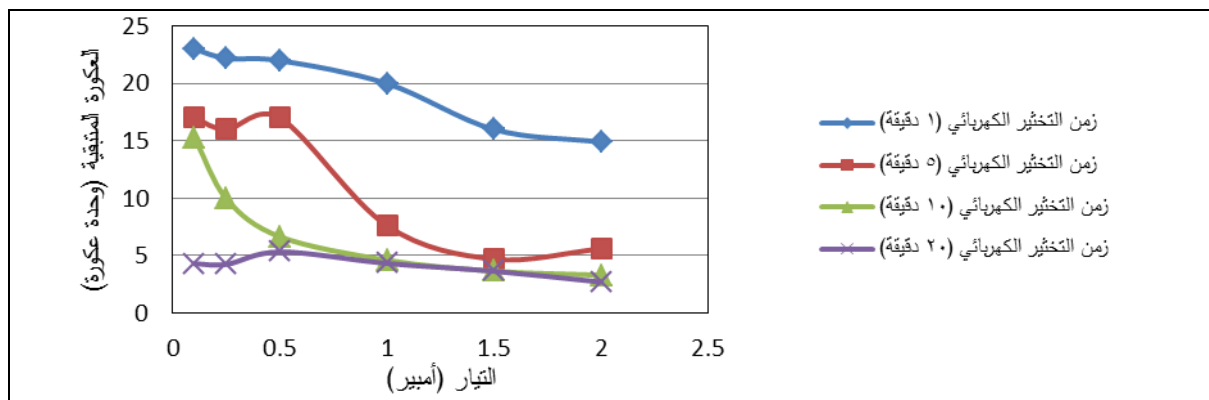
(3):

1) **تأثير تغير التيار الكهربائي على العكورة المتبقية:**
يعتبر التيار الكهربائي من العوامل المهمة المؤثرة على عملية التخيير الكهربائي، ولمعرفة تأثير تغير التيار على العكورة تم اعتماد قيم مختلفة للتيار تتراوح بين 0.1 (0.1 أمبير).
يوضح الشكلين (4) (5) العلاقة بين التيار الكهربائي المار خلال القطب والعكورة المتبقية لمستوى عكورة (10) (25) وحدة عكورة على التوالي ولاربعة أزمنة للتخيير الكهربائي.



(4): تغير العكورة المتبقية مع التيار الكهربائي لمستوى عكورة ابتدائية (10 وحدة عكورة) ولأربعة أزمنة للتخيير الكهربائي.

: زالة عكورة الماء باستخدام تقنية التخثير الكهربائي

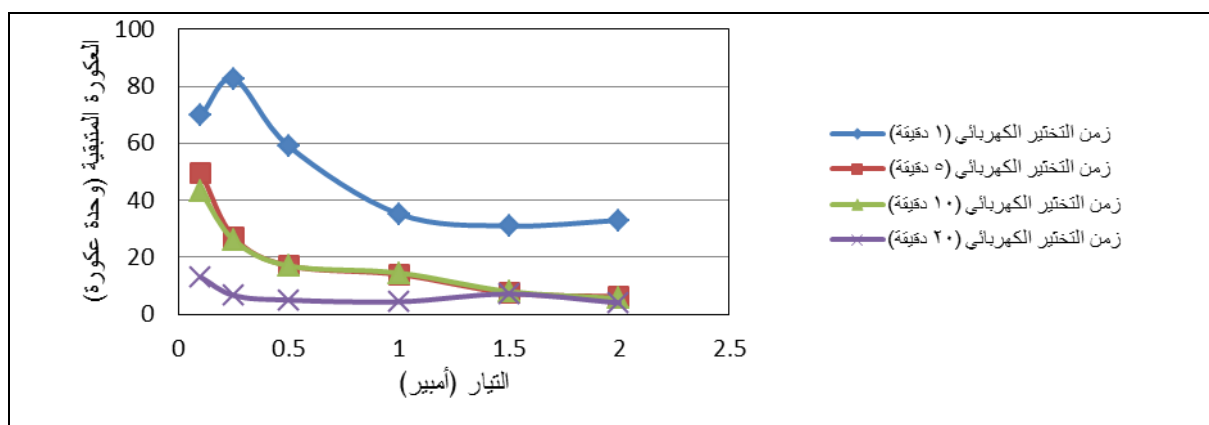


(5): تغير العكورة المتبقية مع التيار الكهربائي لمستوى عكورة ابتدائية (25) للتخثير الكهربائي.

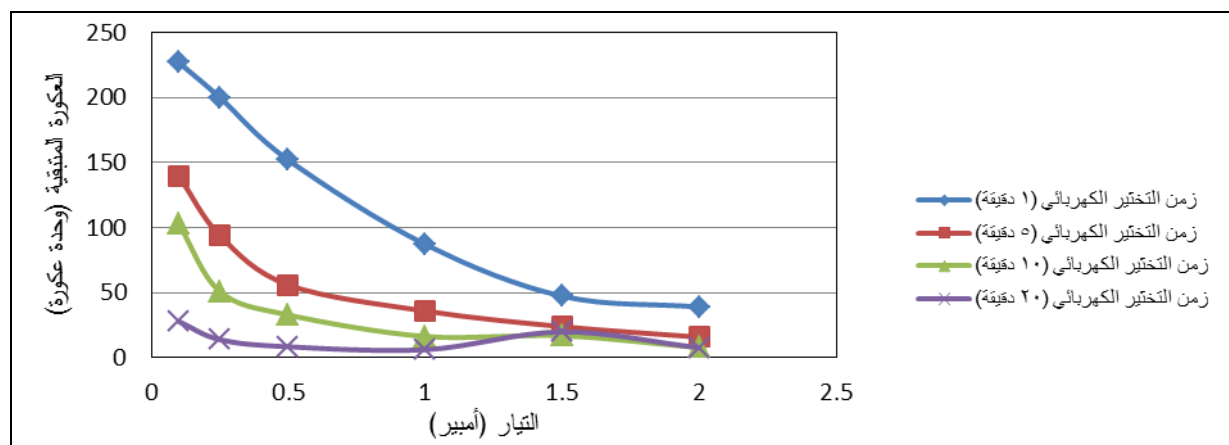
يلاحظ من هذه الأشكال أنه مع زيادة التيار الكهربائي تقل العكورة المتبقية، إذ كانت أقل عكورة متبقية تم الحصول عليها لمستوى العكورة الابتدائية (10 وحدة عكورة) مقدارها 2.6 وحدة عكورة عند التيار (2 أمبير) ولزمن تخثير كهربائي (20 دقيقة)، أما مستوى العكورة الابتدائية (25 وحدة عكورة) فكانت أقل عكورة متبقية تم الحصول عليها 2.7 وحدة عكورة عند تيار كهربائي (2 أمبير) وزمن تخثير كهربائي (20 دقيقة). وبعود السبب في انخفاض العكورة عند زيادة التيار إلى زيادة تركيز أيونات الألمنيوم المتحركة من الأقطاب الكهربائية الموجلة أنها تتناسب طردياً مع كمية التيار حسب قانون فراداي [11] وبالتالي تكون هيدروكسيد الألمنيوم الذي يعتبر المسؤول عن إزالة العكورة للمستويات الواطئة من العكورة حسب ميكانيكية الكسر ويلاحظ ذلك واضحاً من خلال الشكل (4) لمستوى العكورة الابتدائية (10) ومن خلال تذبذب العكورة المتبقية مع زيادة التيار [17].

كما يمكن أيضاً ملاحظة زيادة العكورة المتبقية مع زيادة التيار ثم تعود للتناقص، هذه الزيادة تعود إلى تأثير تراكم هيدروكسيد الألمنيوم [10] إذ أن زيادة التيار تسبب إعادة الاستقرار للغرويات مع تكون كميات كبيرة من هيدروكسيد الألمنيوم بشكل مختل والتي تزيد من العكورة المتبقية [18].

يوضح الشكلين (6) (7) العلاقة بين العكورة المتبقية والتيار الكهربائي لمستويي عكورة (100 و300) للأربعة أرمنة للتخثير الكهربائي إذ يلاحظ أن العكورة المتبقية تقل مع زيادة التيار الكهربائي المار خلال الأقطاب، وبعود السبب في ذلك إلى زيادة كمية أيونات الألمنيوم المنبعثة من الأقطاب الموجبة وإزالة العكورة من خلال ميكانيكية إنضغاط الطبقة الأيونية المزدوجة المحاطة بالجسيمة الغروية العالقة [17].



(6): تغير العكورة المتبقية مع التيار الكهربائي لمستوى عكورة ابتدائية (100) للتخثير الكهربائي.



(7): تغير العكورة المتبقية مع التيار الكهربائي لمستوى عكورة ابتدائية (300 وحدة عكورة) ولأربعة أزمنة للتخثير الكهربائي.

2) تأثير تغير زمن التخثير الكهربائي على العكورة المتبقية:

تم خلال البحث دراسة تأثير تغير زمن التخثير الكهربائي على كفاءة إزالة العكورة، إذ تم اعتماد أربعة أزمنة للتخثير الكهربائي (1 5 10 20) دقيقة مع تغيير التركيز الابتدائي للعكورة وتغيير التيار الكهربائي المار. إذ يلاحظ (4) أن العكورة المتبقية تقل مع زيادة زمن التخثير الكهربائي ولجميع مستويات العكورة الابتدائية وبعود السبب في ذلك إلى زيادة كمية أيون الألمنيوم المنبعث من القطب الموجب مع زيادة زمن التخثير الكهربائي حسب قانون فراداي، ويعتبر أيون الألمنيوم المسؤول الرئيسي عن عملية إزالة العكورة خاصة عند مستويات العكورة الابتدائية

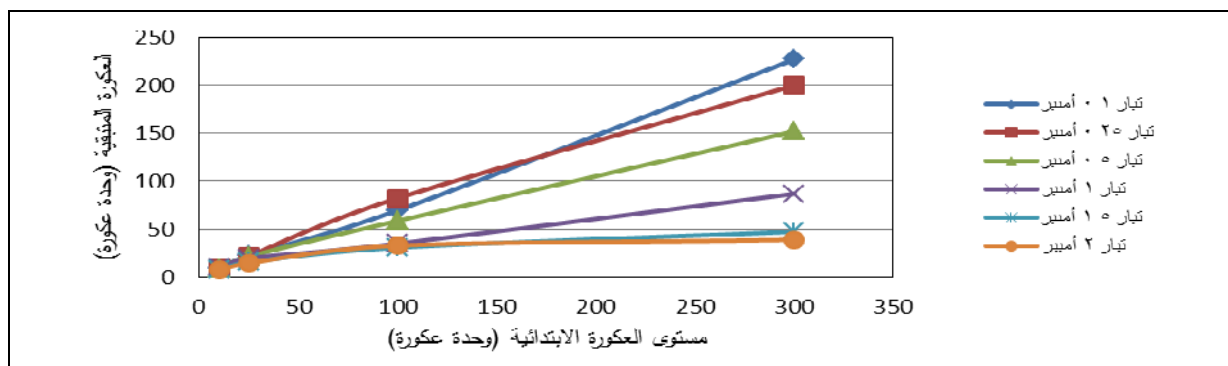
كما يلاحظ أن العكورة المتبقية تقل مع زيادة زمن التخثير الكهربائي وبشكل ملحوظ عند التيارات (0.1 0.25 0.5) أمبير. أما عند التيارات العالية فإن العكورة المتبقية لا تتغير بشكل كبير عند زيادة زمن التخثير الكهربائي، فعند التيارات بين (0.5 1) أمبير تقل العكورة المتبقية مع زيادة زمن التخثير الكهربائي إلى حد (10 دقيقة) وبعد هذا الزمن يكون التغير بالعكورة المتبقية قليلاً جداً أي بين (10 20) دقيقة والسبب يعود إلى أن زمن البقاء مع زيادة التيار بسبب زيادة انحلال القطب الموجب فيزداد أيون الألمنيوم المتحرر عند كثافة التيار العالية [11].

3) تأثير تغير مستوى العكورة الابتدائية على العكورة المتبقية:

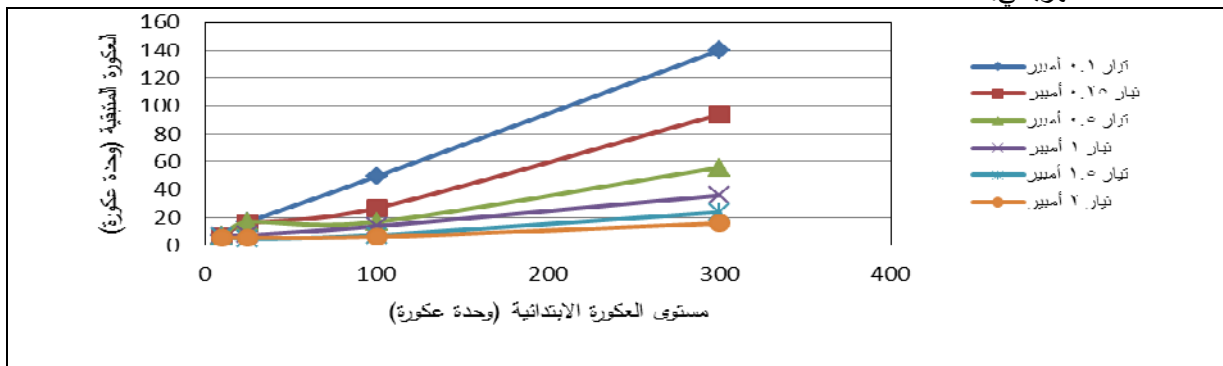
تم دراسة تأثير تغيير التركيز الابتدائي للعكورة على العكورة المتبقية بعملية التخثير الكهربائي، إذ تمأخذ أربعة مستويات ابتدائية للعكورة (10 25 50 100) وحدة عكورة مع متغيرات أخرى هي زمن التخثير الكهربائي والتيار الكهربائي المار.

يشير الشكلين (8) (9) إلى العلاقة بين مستوى العكورة الابتدائية والعكورة المتبقية لستة قيم للتيار الكهربائي وعند زمن تخثير كهربائي (1 دقيقة) و(5 دقيقة) على الترتيب. يلاحظ من خلال هذين الشكلين أن العكورة المتبقية تزداد مع زيادة التركيز الابتدائي للعكورة، فمثلاً من خلال شكل (8) وعند زمن تخثير كهربائي (1 دقيقة) تزداد العكورة المتبقية من (39.1) د زندة التركيز (7.75) د زندة التركيز (10) (300) وحدة عكورة عند تيار كهربائي (2 أمبير)، وتنطبق الحالة ذاتها على شكل (9) زمن تخثير كهربائي (5 دقيقة) وتيار كهربائي (2 أمبير) نلاحظ زيادة العكورة المتبقية من (5.5) (16) د زندة العكورة الابتدائية من (10) (300).

: زالة عكورة الماء باستخدام تقنية التخثير الكهربائي

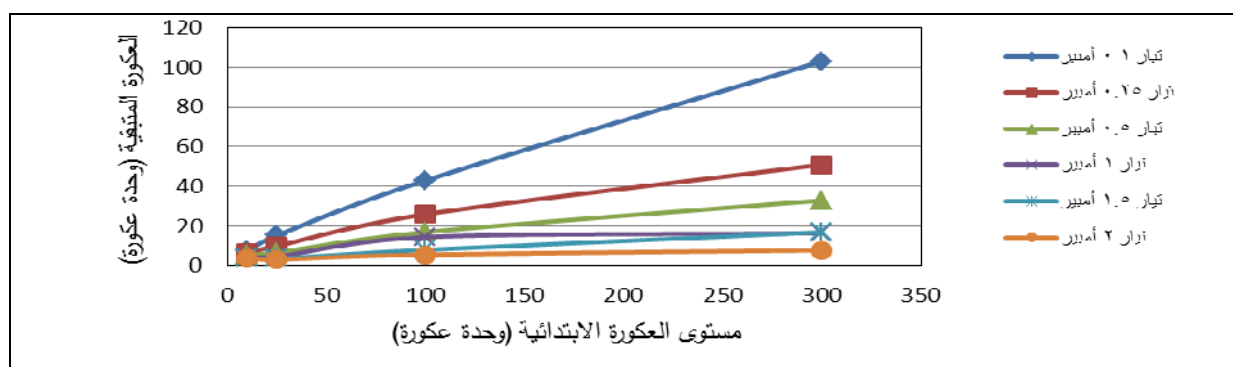


(8): تغير العكورة المتبقية مع مستوى العكورة الابتدائية عند تخثير كهربائي (1 دقيقة) ولست قيم للتيار الكهربائي.

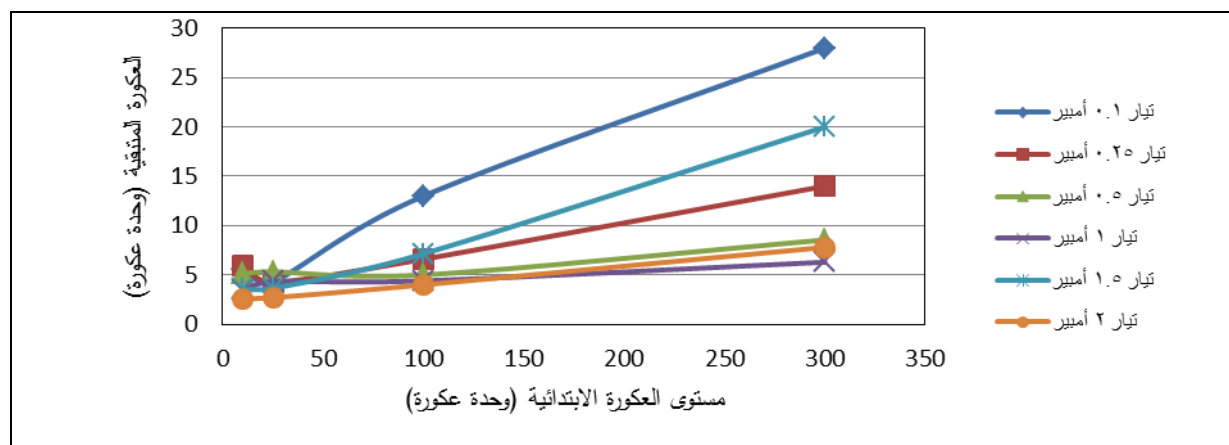


(9): تغير العكورة المتبقية مع مستوى العكورة الابتدائية عند تخثير كهربائي (5 دقيقة) ولست قيم للتيار الكهربائي.

يوضح الشكلين (10) (11) العلاقة بين مستوى العكورة الابتدائية والunkورة المتبقية لست قيم للتيار الكهربائي وعند زمن تخثير كهربائي (10 دقيقة) و(20 دقيقة) على الترتيب. من خلال هذين الشكلين يتبيّن أن العكورة المتبقية تزداد مع زيادة التركيز الابتدائي للunkورة، فعند زمن التخثير الكهربائي (10 دقيقة) تزداد العكورة المتبقية من (3.7) وحدة عكورة عند زيادة التركيز الابتدائي للunkورة من (10) وحدة عكورة وعند تيار كهربائي (2 أمبير)، أما عند زمن التخثير الكهربائي (20 دقيقة) وتيار كهربائي (2) أمبير (نلاحظ زيادة العكورة المتبقية من (2.6) وحدة عكورة عند تغيير العكورة الابتدائية من (10) عكورة. كما يلاحظ أيضاً أن قيمة العكورة المتبقية الناتجة عن مستوى العكورة الابتدائية (100) (300) متقاربة أي بفارق قليل مع اختلاف كمية التيار الكهربائي.



(10): تغير العكورة المتبقية مع مستوى العكورة الابتدائية عند تخثير كهربائي (10 دقيقة) ولست قيم للتيار الكهربائي.



(11): تغير العكورة المتبقية مع مستوى العكورة الابتدائية عند زمن تخثير كهربائي (20 دقيقة) ولست قيم للتيار الكهربائي.

مما سبق وبشكل عام يلاحظ زيادة العكورة المتبقية مع زيادة التركيز الابتدائي للعكورة عند جميع أزمنة التخثير الكهربائي وكل قيم التيار المار ويمكن تعليل ذلك إلى استخدام نفس قيمة التيار و زمن التخثير الكهربائي عند التراكيز العالية والواطئة لذلك فإن كمية أيون الالمنيوم الناتجة تكون غير كافية لازالة في حالة التراكيز العالية للعكورة [19] [20] كما لوحظ أيضاً أن زيادة التيار الكهربائي تنتج تغيراً قليلاً بالعكورة المتبقية بينما زيادة زمن التخثير الكهربائي تؤدي إلى تغير كبير بالعكورة وخاصةً عند مستويات العكورة العالية. نستنتج من ذلك أن تأثير زمن التخثير الكهربائي يكون أكبر من تأثير التيار الكهربائي على العكورة المتبقية.

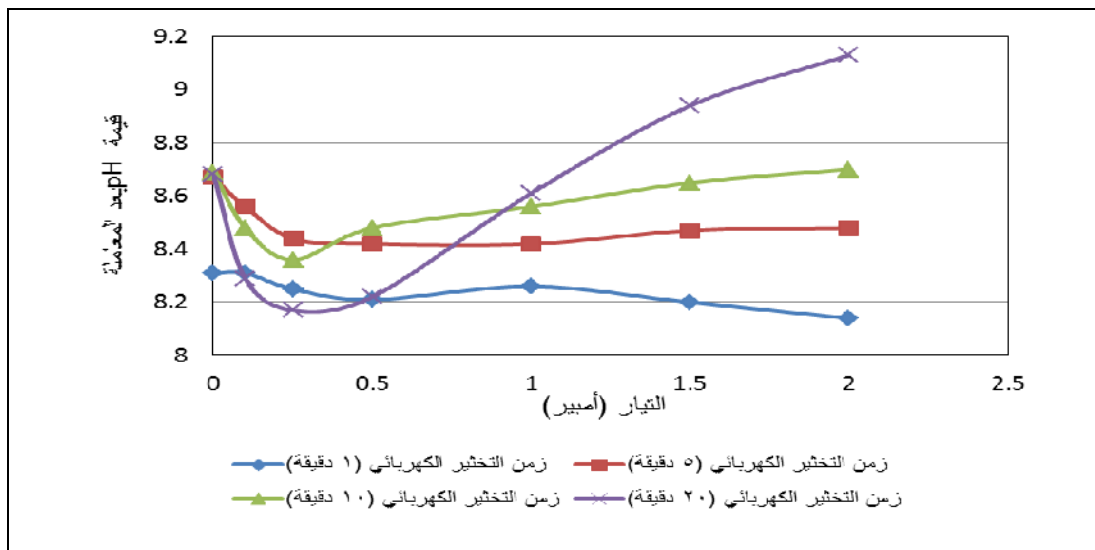
4) زمن التخثير والتيار الكهربائي المثالي :

(4) يلاحظ أن زمن التخثير الكهربائي المثالي هو (10 دقيقة) والتيار الكهربائي (1.5 أمبير) لمستوي العكورة الابتدائية (10) (%) 654 على التوالي لهذين المستويين. بينما يلاحظ أن الزمن المثالي هو (5 دقيقة) والتيار الكهربائي المثالي (1.5 أمبير) العكورة الابتدائية (100) (%) الذي يعطي كفاءة إزالة مقدارها (90%). الإبتدائية (300) وحدة عكورة) فيكون الزمن المثالي هو (5 دقيقة) عند تيار مقداره (2 أمبير) إذ وصلت كفاءة الإزالة إلى (93%). إذ يلاحظ انخفاض العكورة بعد هذه الأزمنة والتيرات غير ذات أهمية.

5) تأثير الاس الهيدروجيني بعملية التخثير الكهربائي:

يوضح (12) تغير معدل الاس الهيدروجيني مع تغير ازمنة التخثير والتيرات المشمولة في الدراسة للماء يلاحظ قيم الاس الهيدروجيني تبدأ بالانخفاض تدريجياً مع زيادة التيار (0.25) أمبير عند الأزمنة (5 20) دقيقة هذه القيم بالازدياد مع زيادة التيار أما عند الزمن (1) دقيقة فإن الانخفاض في الاس الهيدروجيني يستمر مع زيادة التيار حتى (1) أمبير ليبدأ بالارتفاع ويعود السبب إلى أن كمية الهيدروكسيد قليلة تستند في تكوين هيدروكسيد الالمنيوم [21]، بالإضافة إلى إنبعاث غاز الهيدروجين عند القطب السالب والذي يعمل على خفض قيمة الاس الهيدروجيني [9]، ولكنها تبدأ بالإزدياد تدريجياً عند التيرات العالية؛ ويعود سبب ذلك إلى زيادة تكون أيونات الهيدروكسيد (OH^-) وتراكمها في محلول الماء مما يعلم على زيادة قيمة pH .

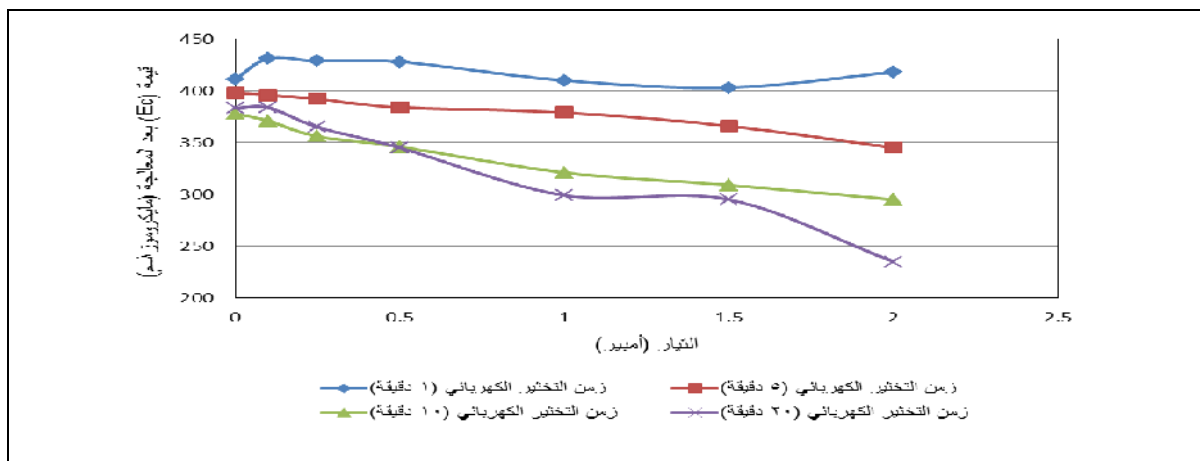
: زالة عкорه الماء باستخدام تقنية التخثير الكهربائي



(12): تأثير التيار و زمن التخثير الكهربائي على معدل قيم الاس الهيدروجيني.

6) تأثير التوصيلية الكهربائية بعملية التخثير الكهربائي:

يلاحظ من الشكل (13) أن قيمة التوصيلية الكهربائية (Ec) تتحفظ تدريجياً مع زيادة قيمة التيار الكهربائي المار، فمثلاً عند زمن التخثير الكهربائي (1 دقيقة) كانت قيمة Ec الطبيعية للماء (411 مايكروموز اسم)، فعند تيار (0.1 أمبير) نلاحظ أنها ازدادت إلى (431 مايكروموز اسم) وذلك يعود إلى زيادة في تكوين أيونات الألمنيوم الناتجة من عملية التخثير الكهربائي مما يؤدي إلى زيادة قابلية الماء على حمل التيار وبذلك زيادة التوصيلية الكهربائية، ولكن مع زيادة التيار الكهربائي تبدأ قيمة Ec بالانخفاض التدريجي إلى أن تصل (403 مايكروموز اسم). أما عند زمن التخثير الكهربائي (5 دقيقة) كانت قيمة Ec (398 مايكروموز اسم) ثم بدأت بالانخفاض تدريجياً مع زيادة التيار الكهربائي إلى أن (345 مايكروموز اسم) عند تيار (2 أمبير). وكذلك الحال عند زمن التخثير الكهربائي (10) (20) دقيقة حيث انخفضت قيمة Ec (378) (383) مايكروموزاً (235) (295) مايكروموز اسم على الترتيب وعند تيار (2 أمبير). كما يلاحظ من الشكل أيضاً أن قيمة التوصيل الكهربائي تنخفض مع زيادة زمن التخثير الكهربائي. إن سبب الانخفاض في قيمة Ec ربما يعود إلى ترسب بعض الشوائب الموجودة في الماء مثل أيونات العسرة وغيرها من خلال عملية التخثير الكهربائي وكما لوحظ ذلك من خلال الدراسات السابقة عن قابلية هذه العملية في إزالة شوائب مختلفة وبذلك نقل قابلية الماء على حمل التيار الكهربائي وبالتالي خفض التوصيلية الكهربائية للماء.



(13): تأثير التيار و زمن التخثير الكهربائي على معدل قيم التوصيلية الكهربائية.

:

1. أثبتت عملية التخثير الكهربائي كفاءتها في إزالة العكورة من الماء، إذ وجد أن كفاءة إزالة العكورة تعتمد على زمن التخثير الكهربائي وكمية التيار الكهربائي المار والمستوى الابتدائي للعكورة.
2. أظهرت النتائج أن العكورة المتبقية تتناسب عكسياً مع كمية التيار الكهربائي المار عند جميع مستويات العكورة الابتدائية.
3. أظهرت النتائج أن العكورة المتبقية تتناسب عكسياً مع زمن التخثير الكهربائي وبشكل ملحوظ عند التيارات (0.1 0.25 0.5) أمبير، ويلاحظ عند زيادة التيار الكهربائي عن (0.5) أمبير فإن العكورة المتبقية لا تتغير بشكل كبير، فعند التيارات بين (0.5 2) أمبير نقل العكورة المتبقية مع زيادة زمن التخثير الكهربائي إلى حد (10 دقيقة) وبعد هذا الزمن أي ضمن الفترة بين (20 40) دقيقة يكون التغير بالعكورة المتبقية قليل جداً.
4. يلاحظ أن لمستوى العكورة الابتدائية تأثير واضح على العكورة المتبقية إذ تزداد العكورة المتبقية مع زيادة يقل الزمن اللازم لعملية التخثير الكهربائي لتحقيق إزالة معينة مع زيادة التيار الكهربائي.
5. أعلى كفاءة إزالة تم الحصول عليها كانت (98%) عند زمن تخثير كهربائي (20 دقيقة) وتيار كهربائي (1 أمبير) ومستوى عكورة ابتدائية (300).
6. عند زمن تخثير كهربائي (20 دقيقة) وتيار كهربائي (2) متباعدة (2.6) أمبير) ومستوى عكورة ابتدائية (10).
7. لوحظ أن تأثير زيادة زمن التخثير الكهربائي يكون أكبر من تأثير زيادة التيار الكهربائي على العكورة المتبقية.
8. أظهرت النتائج تأثير قيمة الأس الهيدروجيني بعملية التخثير الكهربائي، إذ أنها تتغير بين زيادة ونقصان مع تغير التيار الكهربائي وعند جميع أرمنة التخثير الكهربائي. أما التوصيلية الكهربائية فإنها تنخفض مع زيادة التيار الكهربائي المار.

الوصيات:

1. دراسة تأثير عملية التخثير الكهربائي على إزالة ملوثات أخرى وباستخدام متغيرات أخرى.
2. استخدام أقطاب كهربائية من مواد أخرى كالحديد وغيره وعمل مقارنة بينها من خلال كفاءتها في عملية التخثير الكهربائي.
3. دراسة عملية الأققطاب الكهربائية السالبة بشكل أفقى لزيادة كفاءة عملية التعويم.

:

1. Kilic M.G., Hosten C. and Demirci S. (2009). "A parametric comparative study of electrocoagulation and coagulation using ultrafine quartz suspensions". Journal of Hazardous Materials, 171, 247-252.
2. Rincon G. (2011). "Kinetics of the electrocoagulation of oil and grease". University of New Orleans, Theses and Dissertations, Paper 131.
3. Siringi D.O., Home P., Chacha J.S. and Koehn E. (2012). "Is electrocoagulation (EC) a solution to the treatment of wastewater and providing clean water for daily use". ARPN Journal of Engineering and Applied Sciences, Vol. 7, NO. 2.
4. Tabash T.M.S. (2013). "Nitrate removal from groundwater using continuous flow electrocoagulation reactor". M.Sc. thesis, The Islamic University-Gaza.
5. The Interstate Technology & Regulatory Council (ITRC) (2010). "ELECTROCOAGULATION".
6. Malakootian M. and Yousefi N. (2009). "The efficiency of electrocoagulation process using aluminum electrodes in removal of hardness from water". *Iran. J. Environ. Health. Sci. Eng.*, Vol. 6, No. 2, pp. 131-136.

7. Azarian GH, Mesdaghinia AR, Nabizadeh R and Nematollahi D (2007). "Algae removal by electro-coagulation process, application for treatment of the effluent from an industrial wastewater treatment plant". Iranian J. public health, Vol.36, No.4, pp. 57-64.
8. EL-MASRY M.H., SADEK O.M. and MEKHMER W.K. (2004). "Purification of raw surface water using electro-coagulation method" J. Water, Air and Soil pollution 158: 373-385.
9. Ni'am M.F., Othman F., Sohaili J. and Fauzia Z. (2007). "Removal of cod and turbidity to improve wastewater quality using electrocoagulation technique". The Malaysian Journal of Analytical Sciences, Vol 11, No 1, 198-205.
10. Kilic M.G. and Hosten C. (2010)."A comparative study of electrocoagulation and coagulation of aqueous suspensions of kaolinite powders". Journal of Hazardous Materials, 176, 735-740.
11. Merzouk B., Madani K. and Sekki A. (2010). "Using electrocoagulation-electroflotation technology to treat synthetic solution and textile wastewater, two case studies". J. Desalination 250, 573-577.
12. Holt P. (2002). "Electrocoagulation: unravelling and synthesising the mechanisms behind a water treatment process". D.Ph. thesis, University of Sydney.
13. Crittenden J.C., Trussell R.R., Hand D.W., Howe K.J., Tchobanoglous G. and Borchardt J.H. (2012)."MWH's Water Treatment". John Wiley & Sons, Inc.
14. Steel E.W. and McGhee T.J. (1979)."Water supply and sewerage". McGRAW-HILL KOGAKUSHA, LTD.
15. DavisMackenzie L. (2010)."Water and wastewater engineering". The McGraw-Hill Companion.
16. Phalakornkule C., Mangmeemak J., Intrachod K. and Nuntakumjorn B. (2010). "Pretreatment of palm oil mill effluent by electrocoagulation and coagulation". Science Asia 36 : 142-149.
17. Alley E.R. (2007). "Water quality control handbook". Second Edition, Water Environment Federation Alexandria, Virginia.
18. Den W. and Huang C. (2005). "Electrocoagulation for removal of silica nano-particles from chemical-mechanical-planarization wastewater". J. Colloids and Surfaces A: Physicochem. Eng. Aspects 254, 81–89.
19. Aber S., Ghadim A.R.A. and Mirzajani V. (2009). "Removal of Cr(VI) from polluted solutions by electrocoagulation: Modeling of experimental results using artificial neural network". Journal of Hazardous Materials, 171, 484-490.
20. Wan W. (2010). "Arsenic removal from drinking water by electrocoagulation". M.Sc. Electronic Theses and Dissertations, University in St. Louis. Paper 511.
21. Hussen A.A. (2005). "Water purification by electrocoagulation process". A thesis submitted to the department of Environmental Engineering of College of Engineering, University of Baghdad.

= تم اجراء البحث في كلية الهندسة